

УДК 539.3

Динамика трехслойных сферических оболочек несимметричной структуры

Сеницкий Ю. Э., Лычев С. А.

Получены новые волновые уравнения движения, на их основе построено точное решение соответствующей начально-краевой задачи и произведен анализ осесимметричной динамической реакции трехслойной сферической оболочки. Рассмотрен наиболее общий случай упругого закрепления опорного контура.

В отличие от известных работ [1], [2], [3], [4], [5] исследование выполнено для оболочек с несимметричной структурой слоев и при более строгой формулировке граничных условий трехслойной конструкции. Существенным также представляется возможность учета внутренних резонансов (кратных собственных частот). Для этой цели применяются специально разработанные конечные интегральные преобразования (КИП) с матричным ядром, осуществляющие разложение по полной системе собственных и присоединенных вектор-функций.

1. На основе гипотезы ломанной нормали и в предположении, что средний слой толщиной h_1 испытывает деформации сдвига и инерцию вращения, а внешние слои (h_2, h_3) - мембранное напряженно-деформированное состояние, сформулируем начально-краевую задачу в безразмерной форме. Введем безразмерное время $t = \tilde{t}R^{-1} \left[\rho_1 (1 - \nu_1^2) / E_1 \right]^{-1/2}$, и относительные физико-геометрические параметры:

$$E_* = E_2 h_2 / (E_1 h_1), \quad E^* = E_3 h_3 / (E_1 h_1), \quad \rho_* = \rho_2 h_2 / (\rho_1 h_1), \quad \rho^* = \rho_3 h_3 / (\rho_1 h_1), \quad R^* = R / h_1.$$

Здесь E_n - модуль упругости, ν_n - коэффициент Пуассона, ρ_n удельная масса материала n -го слоя, h_n - толщины слоев, R - радиус кривизны оболочки.

Меридиональные $u^{(n)}$ и нормальные $w^{(n)}$ перемещения произвольной точки n -го слоя связаны с соответствующими перемещениями u, w нейтральной поверхности Ω и углом поворота нормали к ней ψ соотношениями:

$$u^{(1)} = u + z\psi, \quad u^{(2)} = u - h_+\psi, \quad u^{(3)} = u + h_-\psi; \quad w^{(1)} = w^{(2)} = w^{(3)}; \quad h_+ + h_- = h_1.$$

Индекс 1 относится к среднему а индексы 2, 3 - к внутреннему и наружному слоям оболочки; h_+, h_- - расстояния от Ω до внешней и внутренней лицевых поверхностей.

Из принципа Гамильтона-Остроградского получены уравнения осесимметричного движения:

$$\mathbf{L}[\bar{y}(\theta, t)] - \mathbf{H} \frac{\partial^2}{\partial t^2} \bar{y}(\theta, t) = \bar{f}(\theta, t), \quad \mathbf{L} \equiv \mathbf{a}_0 \frac{\partial^2}{\partial \theta^2} + \mathbf{a}_1(\theta) \frac{\partial}{\partial \theta} + \mathbf{a}_2(\theta), \quad (1)$$

$$\mathbf{a}_0 = \begin{pmatrix} A & 0 & 0 \\ 0 & K & 0 \\ 0 & 0 & D \end{pmatrix}, \quad \mathbf{a}_1(\theta) = \begin{pmatrix} A \operatorname{ctg}\theta & B + K & 0 \\ -(B + K) & K \operatorname{ctg}\theta & K - J \\ 0 & J - K & D \operatorname{ctg}\theta \end{pmatrix}, \quad (2)$$

$$\mathbf{a}_2(\theta) = \begin{pmatrix} C - A/\sin^2 \theta - K & 0 & K - J \\ -(B + K) \operatorname{ctg}\theta & -2B & K \operatorname{ctg}\theta \\ J - K & 0 & F - K - D/\sin^2 \theta \end{pmatrix}, \quad \mathbf{H} = \begin{pmatrix} I_1 & 0 & I_2 \\ 0 & I_1 & 0 \\ I_2 & 0 & I_3 \end{pmatrix}.$$

соответствующие граничные и начальные условия:

$$\left[\mathbf{b} \frac{\partial}{\partial \theta} \bar{y}(\theta, t) + \mathbf{c}(\theta) \bar{y}(\theta, t) - \mathbf{Z}_1 \bar{y}(\theta, t) \right]_{\theta=\theta_1} = 0, \quad \left[\mathbf{b} \frac{\partial}{\partial \theta} \bar{y}(\theta, t) + \mathbf{c}(\theta) \bar{y}(\theta, t) + \mathbf{Z}_2 \bar{y}(\theta, t) \right]_{\theta=\theta_2} = 0, \quad (3)$$

$$\mathbf{b} = \begin{pmatrix} A & 0 & 0 \\ 0 & K & 0 \\ 0 & 0 & D \end{pmatrix}, \quad \mathbf{c}(\theta) = \begin{pmatrix} (A - C) \operatorname{ctg}\theta & 2B & J \operatorname{ctg}\theta \\ -K & 0 & K \\ J \operatorname{ctg}\theta & J & (D - F) \operatorname{ctg}\theta \end{pmatrix}, \quad \mathbf{Z}_{1,2} = \begin{pmatrix} \alpha_{1,2} & 0 & \chi_{1,2} \\ 0 & \beta_{1,2} & 0 \\ \chi_{1,2} & 0 & \gamma_{1,2} \end{pmatrix}, \quad (4)$$

$$\bar{\mathbf{u}}|_{t=0} = (R \tilde{u}_0, R \tilde{w}_0, \psi_0), \quad \frac{\partial}{\partial t} \bar{\mathbf{u}}|_{t=0} = (R \dot{\tilde{u}}_0, R \dot{\tilde{w}}_0, \dot{\psi}_0). \quad (5)$$

где

$$\begin{aligned} A &= 1 + E_* \frac{1 - v_1^2}{1 - v_2^2} + E_* \frac{1 - v_1^2}{1 - v_3^2}, & D &= \frac{1}{4R^{*2}} \left[\frac{1}{3} + \hat{h}^2 + E_* \frac{1 - v_1^2}{1 - v_2^2} (1 + \hat{h}) + E_* \frac{1 - v_1^2}{1 - v_3^2} (1 - \hat{h}) \right], \\ B &= (1 + v_1) \left[1 + E_* \frac{1 - v_1}{1 - v_2} + E_* \frac{1 - v_1}{1 - v_3} \right], & F &= \frac{1 - v_1}{4R^{*2}} \left[\frac{1}{3} + \hat{h}^2 + E_* \frac{1 + v_1}{1 + v_2} (1 + \hat{h}) + E_* \frac{1 + v_1}{1 + v_3} (1 - \hat{h}) \right], \\ C &= (1 - v_1) \left[1 + E_* \frac{1 + v_1}{1 + v_2} + E_* \frac{1 + v_1}{1 + v_3} \right], & J &= \frac{1 - \hat{h}}{R^*} \left[(v_1 - v_3) E_* \frac{1 - v_1^2}{1 - v_3^2} - (v_1 - v_2) E_* \frac{1 - v_1^2}{1 - v_2^2} \right], \\ K &= \frac{\kappa^2}{2} (1 - v_1), \quad \kappa = \frac{\pi}{2\sqrt{3}}, \quad \hat{h} = 1 - \frac{1}{A} \left[1 + 2E_* \frac{1 - v_1^2}{1 - v_2^2} \right], & h_+ &= \frac{h_1}{2} (1 - \hat{h}), \quad h_- = \frac{h_1}{2} (1 + \hat{h}), \\ I_1 &= 1 - \frac{\hat{h}}{R^*} + \frac{\hat{h}^2 + 1/3}{4R^{*2}} + \rho_* \left[1 - \frac{1 + \hat{h}}{2R^*} \right]^2 + \rho^* \left[1 + \frac{1 - \hat{h}}{2R^*} \right]^2, \\ I_2 &= \frac{1}{2R^*} \left\{ \frac{\hat{h}^2 + 1/3}{R^*} - \hat{h} - \frac{\hat{h}^3 + \hat{h}}{4R^{*2}} - \rho_* \left[1 - \frac{1 + \hat{h}}{2R^*} \right]^2 (1 + \hat{h}) + \rho^* \left[1 + \frac{1 - \hat{h}}{2R^*} \right]^2 (1 - \hat{h}) \right\}, \\ I_3 &= \frac{1}{4R^{*2}} \left\{ 1/3 + \hat{h}^2 + \frac{\hat{h}^3 + \hat{h}}{R^*} + \frac{\hat{h}^4 + \hat{h}^2 + 1/10}{2R^{*2}} + \rho_* \left[1 - \frac{1 + \hat{h}}{2R^*} \right]^2 (1 + \hat{h})^2 + \rho^* \left[1 + \frac{1 - \hat{h}}{2R^*} \right]^2 (1 - \hat{h})^2 \right\}. \end{aligned}$$

Здесь \hat{h} - смещение нейтральной поверхности, определяющее положение Ω , κ - коэффициент поперечного сдвига. Упругие характеристики опорного контура $\alpha_{1,2}, \beta_{1,2}, \gamma_{1,2}, \chi_{1,2}$ представляют собой реакции на соответствующие единичные перемещения. Внешнее воздействие $\vec{f}(\theta, t)$ запишем в виде:

$$\vec{f}(\theta, t) = \frac{1 - \nu_1^2}{R^2 E_1 h_1} \begin{pmatrix} R R_+ \tilde{f}_0^+(\theta, t) + R R_- \tilde{f}_0^-(\theta, t) \\ R R_+ \tilde{f}_z^+(\theta, t) + R R_- \tilde{f}_z^-(\theta, t) \\ h_+ R_+ \tilde{f}_0^+(\theta, t) - h_- R_- \tilde{f}_0^-(\theta, t) \end{pmatrix}, \quad R_+ = R + h_+ + h_3, \quad R_- = R - h_- - h_2,$$

где $\tilde{f}_z^+(\theta, t), \tilde{f}_0^+(\theta, t), \tilde{f}_z^-(\theta, t), \tilde{f}_0^-(\theta, t)$ - соответственно проекции распределенных сил, приложенных к лицевым поверхностям, на нормаль и касательную к меридиану.

Внутренние усилия могут быть вычислены по формулам:

$$\begin{aligned} \tilde{N}_{\theta\theta}^{(n)} &= \frac{E_n h_n}{1 - \nu_n^2} \left\{ \frac{\partial u}{\partial \theta} + (\nu_n + 1)w + \nu_n \operatorname{ctg} \theta u - \frac{e^{(n)}}{2} \left[\frac{\partial \psi}{\partial \theta} + \nu_n \operatorname{ctg} \theta \psi \right] \right\}, \\ \tilde{N}_{\varphi\varphi}^{(n)} &= \frac{E_n h_n}{1 - \nu_n^2} \left\{ \operatorname{ctg} \theta u + (\nu_n + 1)w + \nu_n \frac{\partial u}{\partial \theta} - \frac{e^{(n)}}{2} \left[\operatorname{ctg} \theta \psi + \nu_n \frac{\partial \psi}{\partial \theta} \right] \right\}, \end{aligned} \quad (6)$$

$$\tilde{Q}_0 = \frac{E_1 h_1 \kappa^2}{2 + 2\nu_1} \left[\frac{\partial w}{\partial \theta} + \psi - u \right], \quad e^{(1)} = h_1 \hat{h}, \quad e^{(2)} = h_1 (\hat{h} + 1), \quad e^{(3)} = h_1 (\hat{h} - 1),$$

$$\begin{aligned} M_{\theta\theta} &= \frac{E_1 h_1^2}{R(1 - \nu_1^2)} \left\{ \frac{h_1(1 + 3\hat{h})}{12} \left[\frac{\partial \psi}{\partial \theta} + \nu_1 \operatorname{ctg} \theta \psi \right] - \frac{\hat{h}}{2} \left[\frac{\partial u}{\partial \theta} + (\nu_1 + 1)w + \nu_1 \operatorname{ctg} \theta u \right] \right\}, \\ M_{\varphi\varphi} &= \frac{E_1 h_1^2}{R(1 - \nu_1^2)} \left\{ \frac{h_1(1 + 3\hat{h})}{12} \left[\operatorname{ctg} \theta \psi + \nu_1 \frac{\partial \psi}{\partial \theta} \right] - \frac{\hat{h}}{2} \left[\operatorname{ctg} \theta u + (\nu_1 + 1)w + \nu_1 \frac{\partial u}{\partial \theta} \right] \right\}. \end{aligned} \quad (7)$$

Следует отметить, что в случае симметричной структуры слоев $\hat{h} = 0$ а уравнения (1), (2), краевые условия (3), (4) и формулы (6), (7) преобразуются к известному виду [2].

2. Для построения общего решения, учитывающего кратные собственные частоты, в соответствии с алгоритмической процедурой КИП [6] получаем следующее представление для трансформанты с соответствующей формулой обращения:

$$\begin{aligned} \bar{\varphi}(\lambda, t) &= \int_{\theta_1}^{\theta_2} Y(\theta, \lambda)^T \left\{ H \left[\bar{y}_0(\theta) \cos(\lambda^{1/2} t) + \lambda^{-1/2} \dot{\bar{y}}_0(\theta) \sin(\lambda^{1/2} t) \right] - \right. \\ &\quad \left. - \lambda^{-1/2} \int_0^t \vec{f}(\theta, \tau) \sin(\lambda^{1/2} (t - \tau)) d\tau \right\} \sin \theta d\theta, \end{aligned} \quad (8)$$

$$\bar{y}(\theta, t) = \sum_{i=1}^{\infty} Y(\theta, \lambda_i) V(\lambda_i) \bar{\varphi}(\lambda_i, t), \quad \lambda_i \in \Lambda. \quad (9)$$

Здесь $Y(\theta, \lambda) = (\bar{v}_1(\theta, \lambda) \dots \bar{v}_6(\theta, \lambda))$ - фундаментальная матрица решений уравнения:

$$L[\bar{v}_k(\theta, \lambda)] = -\lambda H \bar{v}_k(\theta, \lambda), \quad k = 1, 2, \dots, 6, \quad (10)$$

Λ

-

спектральное

множество:

$$\Lambda = \left\{ \lambda_i \mid \lambda_i \in \mathfrak{R} \det[B(\lambda_i)] = 0 \right\}, \quad B(\lambda) = \begin{pmatrix} \left[\mathbf{b} \frac{\partial}{\partial \theta} Y(\theta, \lambda) + (\mathbf{c}(\theta) + \mathbf{Z}_1) Y(\theta, \lambda) \right]_{\theta=\theta_1} \\ \dots \\ \left[\mathbf{b} \frac{\partial}{\partial \theta} Y(\theta, \lambda) + (\mathbf{c}(\theta) - \mathbf{Z}_2) Y(\theta, \lambda) \right]_{\theta=\theta_2} \end{pmatrix},$$

$\mathbf{V}(\lambda_i)$ - ортонормирующая матрица

$$\mathbf{V}(\lambda_i) = \mathbf{S}(\lambda_i) \left[\mathbf{S}(\lambda_i)^T \int_{\theta_1}^{\theta_2} \mathbf{Y}(\theta, \lambda_i)^T \mathbf{H} \mathbf{Y}(\theta, \lambda_i) \sin \theta d\theta \mathbf{S}(\lambda_i) \right]^{-1} \mathbf{S}(\lambda_i)^T, \quad (11)$$

$\mathbf{S}(\lambda_i)$ - нулевые подпространства матрицы $\mathbf{B}(\lambda_i)$. Квадратура в выражении (11) может быть вычислена следующим образом:

$$\begin{aligned} & \int_{\theta_1}^{\theta_2} \mathbf{Y}(\theta, \lambda)^T \mathbf{H} \mathbf{Y}(\theta, \lambda) \sin \theta d\theta = \\ & = \left\{ \left[\frac{\partial \mathbf{Y}(\theta, \lambda)^T}{\partial \lambda} \mathbf{a}_0 \frac{\partial \mathbf{Y}(\theta, \lambda)}{\partial \theta} - \frac{\partial^2 \mathbf{Y}(\theta, \lambda)^T}{\partial \lambda \partial \theta} \mathbf{a}_0 \mathbf{Y}(\theta, \lambda) + \frac{\partial \mathbf{Y}(\theta, \lambda)^T}{\partial \lambda} (\mathbf{a}_0 - \mathbf{a}_1^T(\theta)) \mathbf{Y}(\theta, \lambda) \right] \sin \theta \right\}_{\theta=\theta_1}^{\theta=\theta_2}. \quad (12) \end{aligned}$$

Принципиальное отличие (8), (9) от обычных разложений метода КИП [6] состоит в том, что трансформанта $\bar{\varphi}(\lambda, t)$ является вектором, а ядро $\mathbf{Y}(\theta, \lambda)$ - квадратной матрицей. Возможность появления кратных λ_i при таком представлении учитывается размерностью нулевого подпространства $\mathbf{S}(\lambda_i)$. При этом в ядро преобразования не входят произвольные постоянные решения однородной краевой задачи, что компенсируется в дальнейшем формулой разложения (9). Операция ортогонализации и нормировки собственных и присоединенных векторов заключена в (12).

Частные решения уравнения (10) при $k = 1, 2, 3$ могут быть записаны в виде:

$$\bar{\mathbf{v}}_k(\theta, \lambda) = \begin{pmatrix} \left((\lambda I_1 - K v_k - 2B)(\lambda I_3 - D v_k - W_2) - v_k W_5^2 \right) P_{-\frac{1}{2} + \sqrt{1/4 + v_k}}^1(\cos \theta) \\ v_k \left(W_5(\lambda I_2 - W_5) - (B + K)(\lambda I_3 - D v_k - W_2) \right) P_{-\frac{1}{2} + \sqrt{1/4 + v_k}}^1(\cos \theta) \\ \left((B + K) v_k W_5 - (\lambda I_2 - W_5)(\lambda I_1 - K v_k - 2B) \right) P_{-\frac{1}{2} + \sqrt{1/4 + v_k}}^1(\cos \theta) \end{pmatrix}. \quad (13)$$

Здесь $P_\eta^m(\cos \theta)$ - присоединенные функции Лежандра комплексной степени η порядка m первого; v_k - корни определяющего кубического уравнения:

$$v^3 \gamma + v^2 (\varphi_1 \lambda + \varphi_0) + v (\psi_2 \lambda^2 + \psi_1 \lambda + \psi_0) + \vartheta_3 \lambda^3 + \vartheta_2 \lambda^2 + \vartheta_1 \lambda + \vartheta_0 = 0, \quad (14)$$

где

$$\begin{aligned} \gamma &= -ADK; \quad \vartheta_3 = I_1 W_6; \quad \vartheta_2 = I_1 (I_1 (F - K) + 2I_2 W_5 - I_3 W_3) - 2B W_6; \\ \vartheta_1 &= I_1 (W_2 (2B - C) - W_1) - 2B (2I_2 W_5 - I_3 W_3); \quad \vartheta_0 = 2B (W_1 + C W_2); \\ \psi_0 &= 2B (W_2 (B/2 - A) - W_1 - D W_3) - C W_1; \quad \psi_1 = I_1 (A W_2 - W_1 + D (W_3 + 2B)) + 2B I_2 W_5 - I_3 W_4; \\ \psi_2 &= I_2^2 K - I_1^2 D - I_1 I_3 (A + K); \quad \varphi_0 = A W_1 - D W_4; \quad \varphi_1 = I_1 D (A + K) + A K I_3; \quad W_1 = J^2 - K (2J + F); \\ W_2 &= K - F; \quad W_3 = K - C; \quad W_4 = KC + B (B + 2(K - A)); \quad W_5 = J - K; \quad W_6 = I_1 I_3 - I_2^2. \end{aligned}$$

Частные решения для $k = 4, 5, 6$ и $v_4 = v_1, v_5 = v_2, v_6 = v_3$ определяются выражениями (13) с заменой в них $P_\eta^m(\cos \theta)$ на функции Лежандра второго рода $Q_\eta^m(\cos \theta)$.

В случае кратных корней уравнения $v_k = v_{k+1}$ (14) полагаем:

$$\bar{\mathbf{v}}_{k+1}(\theta, \lambda) = \frac{\partial}{\partial \lambda} \bar{\mathbf{v}}_k(\theta, \lambda).$$

3. В качестве примера рассмотрим динамическую реакцию трехслойного сферического купола, упруго закрепленного относительно углов поворота. На его внешней поверхности приложена локальная нестационарная динамическая нагрузка $\tilde{f}_z^+(\theta, t)$, изменяющаяся по степенному закону в зависимости от $\cos\theta$ и t :

$$\tilde{f}_z^-(\theta, t) = \tilde{f}_0^+(\theta, t) = \tilde{f}_0^-(\theta, t) = 0; \quad \tilde{f}_z^+(\theta, t) = (H(\theta_2) - H(\theta_3)) \left[\sum_{j=0}^n d_j (\cos\theta_2 - \cos\theta)^j \right] \times \sum_{j=0}^m g_j t^j. \quad (15)$$

Здесь $H(\theta)$ - единичная функция Хевисайда.

В рассматриваемом примере второе граничное соотношение (3) является условием ограниченности [5], которому удовлетворяют только функции Лежандра первого рода $P_n^m(\cos\theta)$. Трансформанта (8) имеет размерность, равную трем, и записывается в виде:

$$\begin{aligned} \bar{\varphi}(\lambda, t) = & (\varphi_1, \varphi_2, \varphi_3)^T; \quad \varphi_k = \lambda^{-1/2} v_k (W_5(\lambda I_2 - W_5) - (B + K)(\lambda I_3 - D v_k - W_2)) \times \\ & \times \left\{ \left[\sum_{j=0,2,4}^m g_j \frac{(-1)^{j/2} j!}{\sqrt{\lambda^{j+1}}} \right] \cos(\sqrt{\lambda} t) + \left[\sum_{j=1,3,5}^m g_j \frac{(-1)^{j/2} j!}{\sqrt{\lambda^{j+1}}} \right] \sin(\sqrt{\lambda} t) - \sum_{k=1}^m t^k \sum_{j=0,2,4}^{m-k} g_{k+j} \frac{(-1)^{j/2} (k+1)_j}{\sqrt{\lambda^{j+1}}} \right\} \times \\ & \times \sum_{j=0}^n d_j (-1)^j (j+1)! \left[(\sin\theta_3)^{j+1} P_{-\frac{j}{2}+\sqrt{1/4+v_k}}^{-j-1}(\cos\theta_3) - (\sin\theta_2)^{j+1} P_{-\frac{j}{2}+\sqrt{1/4+v_k}}^{-j-1}(\cos\theta_2) \right], \quad k = 1, 2, 3. \end{aligned}$$

где - $(a)_j$ - символ Похгаммера.

Ниже приведены числовые результаты, полученные при расчете сталебетонного купола защитной оболочки реакторного отделения атомной электростанции ($R=30$ м, $h_1+h_2+h_3=1.5$ м, $\theta_1=50^\circ$). На рис. 1 показан спектр частот колебаний оболочки в зависимости от относительной толщины, а в табл. 1 первые девять частот (Гц) при различных коэффициентах жесткости γ упругого контура. Следует отметить области внутренних резонансов (кратных собственных частот), показанных на рис. 1 кружками, а также то, что упругие характеристики опорного контура оказывают влияние только на низкочастотную часть спектра.

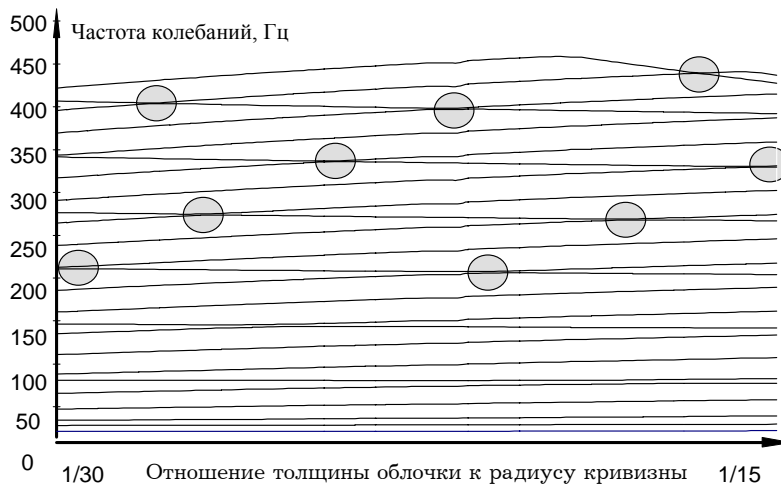


Рис. 1.

№	$\gamma = \infty$	$\gamma = 130$	$\gamma = 0$
1	20.91	20.27	19.99
2	28.12	27.65	27.20
3	34.11	33.47	33.20
4	47.16	46.54	46.24
5	65.63	65.02	64.72
6	81.00	80.40	80.10
7	88.05	87.45	87.15
8	110.7	110.1	109.8
9	134.9	134.3	134.0

Табл. 1.

На рис. 2 приведены осциллограммы перемещений вершины купола (а) и , а на рис. 3 - внутренние изгибающие моменты в различные моменты времени при частном воздействии (23), которое соответствует скачку давления, локально распределенному в окрестности полюса оболочки . На рис. 3 ярко выражена зона краевого эффекта.

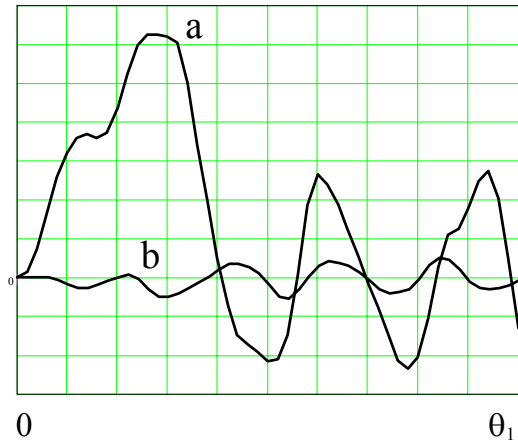


Рис. 2

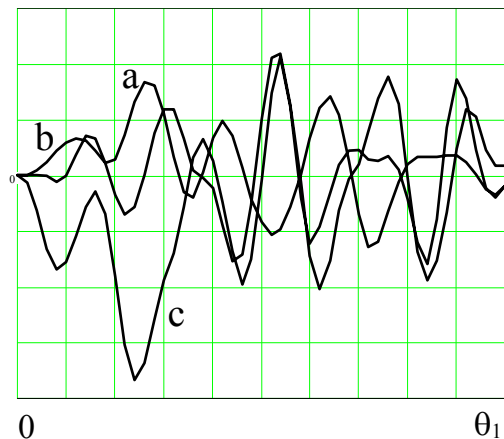


Рис. 3

Литература

- 8 Culkovski P. M., Reismann H. The spherical sandwich shell under axisymmetric static and dynamic loading // J. of Sound and Vibration, 1971, v. 14, № 2, p. 229-240.
- 2 Koplik B., Yu Yi-Yuan. Axisymmetric vibration of homogenous and sandwich spherical caps // Trans. ASME, J. Appl. Mech., 1967, v. E34, № 3, p. 667-673.
- 3 Лизарев А. Д., Ростанина Н. Б. Колебания металлополимерных и однородных сферических оболочек - Минск: Наука и техника, 1984. -192 с.
- 7 Григолюк Э. И., Чулков П. П. Устойчивость и колебания трехслойных оболочек - М.: Машиностроение, 1973. - 170 с.
- 7 Сеницкий Ю. Э. Нестационарная задача динамики для трехслойной непологой сферической оболочки // Строительная механика и расчет сооружений, № 6, 1990, с. 55-61.
- 1 Сеницкий Ю. Э. Многокомпонентное обобщенное конечное интегральное преобразование и его приложение к нестационарным задачам механики // Известия вузов. Математика, 1991, №4, с. 57-63.

Сеницкий Юрий Эдуардович, 1933г., доктор техн. наук, профессор, зав. кафедрой сопротивления материалов и строительной механики Самарской Государственной архитектурно-строительной академии.

Рабочий адрес: 443001, Самара-1, ул. Молодогвардейская, 194, тел. 33-93-81.

Домашний адрес: 443110, Самара-110, ул. Осипенко, д. 14, кв. 18, тел. 34-24-29.

Лычев Сергей Александрович, 1970 г. - аспирант той же кафедры.

Домашний адрес: 443030, Самара-30, ул. Красноармейская, 127-9, тел. 36-65-87.

E-mail: academy@icc.ssaba.samara.ru